

ここまで来た計算科学の鉄鋼への応用

計算状態図による鉄鋼材料の合金設計

Alloy Design of Steels Based on Calculated Phase Diagrams

産業技術総合研究所 東北センター 主任研究員

及川勝成 Katsunari Oikawa

東北大学 工学研究科 大沼郁雄 Ikuo Ohnuma

東北大学 未来科学技術 石田清仁 Kiyohito Ishida 共同研究センター 教授 石田清仁 Kiyohito Ishida

はじめに

状態図を計算で求める手法は、CALPHAD(Calculation of Phase Diagrams)法と称され、それが提唱されてからすでに30年以上を経たが 11 、これが実際の材料開発に応用され、多くの大学や企業に利用されたのはここ10数年である。Thermo-Calc 21 を始め、多元系状態図を計算するためのソフトウェアの開発もその進展に大きな役割を演じてきたが、鉄鋼材料だけでなく、Ni基、Ti基、Al基、Mg基、Cu基、はんだ合金等、状態図と熱力学に関するデータベースが次々と構築されている 31 。本稿では、鉄鋼材料のデータベースを利用して合金設計を行った例として鉛フリー快削ステンレス鋼と高硬度耐摩耗鋼について紹介する。なお状態図を利用した非鉄材料の例については文献を参照されたい 41 。

2

Pbフリー快削ステンレス鋼の 開発

近年の環境問題への関心の高まりから、人体へ有害なPbの工業製品への応用が規制の対象となりつつある。現在、鉄鋼材料の切削性を改善するためにPbが添加されているが、ここでもPbを添加しない新しい快削鋼の開発が社会的に要請されるようになってきた。Pbに代わる切削性の改善物質として従来から知られているのはMnS、グラファイト、Ca酸化物等の物質で、近年ではBN等も切削性改善効果が報告され、構造用鋼では積極的なPbフリー快削鋼の開発が行われている。ステンレス鋼ではMnSを分散したSUS303、SUS430Fなどの快削ステンレス鋼があるが、MnSは化学的に不安定な化合物でステンレス鋼の特徴である耐食性を著しく劣化させる他、溶接性や冷間加工性に対しても悪影響を及ぼすことが知られている。Ti4C2S2は、ステンレス鋼50や構造用鋼60などで被削性を改善することが最近報告され、また

MnSより化学的に安定な化合物である。ステンレス鋼中にはC、Sと親和性の強いCr、Mnが必須元素として含まれるため、Ti、C、Sが添加された合金中には様々な炭化物や硫化物が生成する可能性がある。ここでは、Ti₄C₂S₂を分散したPbフリー快削ステンレス鋼の開発へのCALPHAD法の適用について紹介する。

2.1 チタン炭硫化物を利用した合金設計

著者らは、CALPHAD法によりステンレス鋼中の硫化物や炭化物の相平衡を計算することができる熱力学データベースを開発し⁷⁻⁹⁾、Pbフリー快削ステンレス鋼中における硫化物、炭化物の安定性を予測することに応用した。Fig. 1は、ステンレス鋼中にTi、C、Sを添加した時に形成する可能性がある典型的な炭化物、硫化物の溶解度積の計算結果を示し

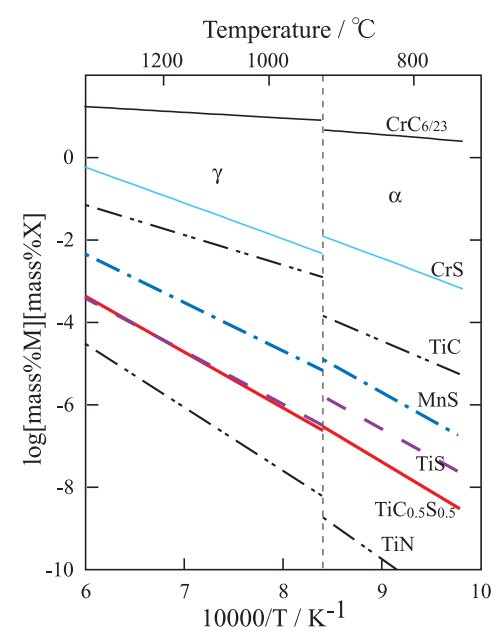


Fig. 1 Calculated solubility products of carbides and sulfides in steel

ている10)。各化合物の溶解度積は互いに接近しており、組 成バランスや熱処理により生成する化合物が変化することが 容易に推察される。Fig. 2はフェライト系ステンレス鋼であ るSUS430をベースとした合金の800℃における等温断面状 態図である。Fig. 2(a) からフェライトマトリックス中に $Ti_4C_2S_2$ のみが析出する $\alpha + Ti_4C_2S_2$ 2相領域は非常に狭く、 実際の製鋼工程において α +Ti₄C₂S₂ 2相領域で成分コント ロールすることは困難であることが示唆される。また、非常 に硬い化合物であるTiCやM23C6などの炭化物は、工具摩耗 を助長すると考えられ、被削性の観点からその析出を避ける 必要がある。つまり Fig. 2 (a) の青色で塗りつぶされた組成 領域は、快削鋼として適さないと推察される。更に、MnS やM23C6の析出は耐食性を劣化させることから、赤色で塗り つぶされた組成領域は、耐食性の観点から適さないと考えら れる。従って、被削性や耐食性への影響が小さいTiSが共存 する α +Ti₄C₂S₂+TiS3 相領域中で、Ti₄C₂S₂ がより多く析 出する領域(緑色)がステンレス快削鋼として有望であると 期待される。

Fig. 2 (a) の Fe-0.21Si-16.5Cr-0.7 Mn-0.55Ti-C-Sを基本組成とし、Mnを増量およびTiを減量した場合の状態図を Fig. 2 (b)、2 (c) にそれぞれ示している。 Mnを増量した場合、Fig. 2 (b) のように状態図の形状はほとんど変化しない。一方、Tiを減量した場合、Fig. 2 (c) のように赤色の領域が大きく広がることが予測される。このように、Ti4C2S2を分散した合金の設計のためのTi4C2S2を生成するのに必要なTi量、およびそれに最適な C. S量を計算により求めることが

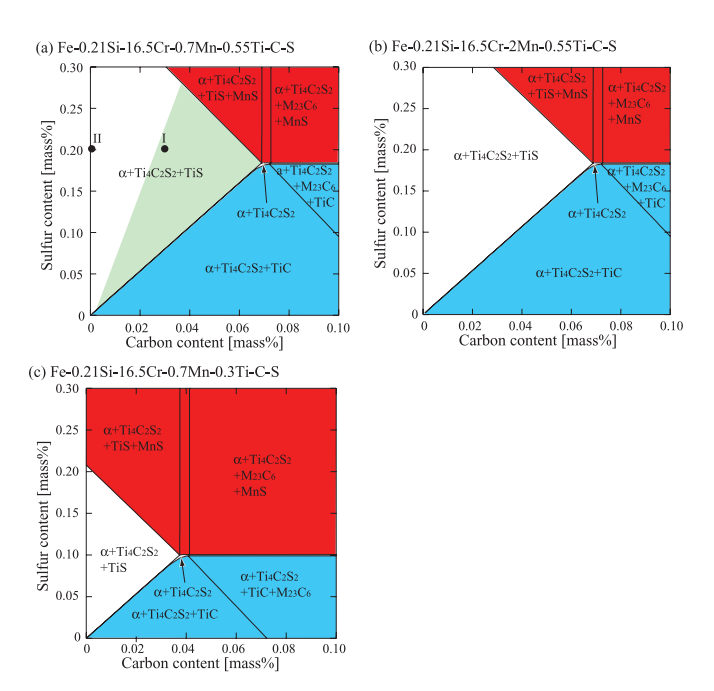


Fig. 2 Calculated isothermal section diagrams at 800 ℃ for SUS430-based alloy

可能となっている。

2.2 フェライト系Pbフリー快削ステンレス鋼の被削性と 耐食性

上記の合金設計指針のもとに、幾つかの合金を溶製し、そ の被削性や耐食性などを比較した5)。Fig. 3は、旋削試験に よる工具の逃げ面摩耗を評価した結果を示している。Alloy Iは、合金組成がFig. 2(a)中にIで示された点に近い組成で、 Ti₄C₂S₂が多く析出している。Alloy II はCをほとんど含ま ず、合金組成がFig. 2 (a) 中にIIで示された点に近い組成で TiSが多く析出している。Alloy IIIは、Alloy IのTi, S濃度 を固定しC濃度を0.154%まで増量した合金で、M23C6が多 数析出する合金である。詳しい切削条件は、原著論文5)を参 照していただきたいが、Ti4C2S2が多く析出したAlloy Iの工 具摩耗量が他の合金と比較して少なく、Pbを分散させた SUS430+Pbに匹敵することが明らかとなった。このこと は、Ti₄C₂S₂が切削性改善物質として有効であることを意味 している。Ti₄C₂S₂が被削性を改善する詳細な原因は現在検 討中であるが、工具刃先にTiを主とする安定な構成刃先が 出来やすいことが指摘されている^{6,11)}。Fig. 4は、塩水噴霧 試験後の試料外観を示したものである12)。MnSが分散して いるSUS430Fは、発銹が認められるのに対し、Alloy IはS を0.2%含んでいるのにも関わらず発銹が認められず、基本 組成であるSUS430と同様の外観を示している。これより Ti₄C₂S₂は、SやCの添加による耐食性の劣化を防ぐのに有 効なこともわかった。開発鋼 (Alloy I) は、被削性、耐食性 だけでなく機械的性質や冷間加工性もSUS430Fより優れる ことも明らかとなっている^{13,14)}。

著者らは、このようなCALPHAD法による合金設計を応用し、Pbフリー快削ステンレス鋼だけでなく、Ti4C2S2を分

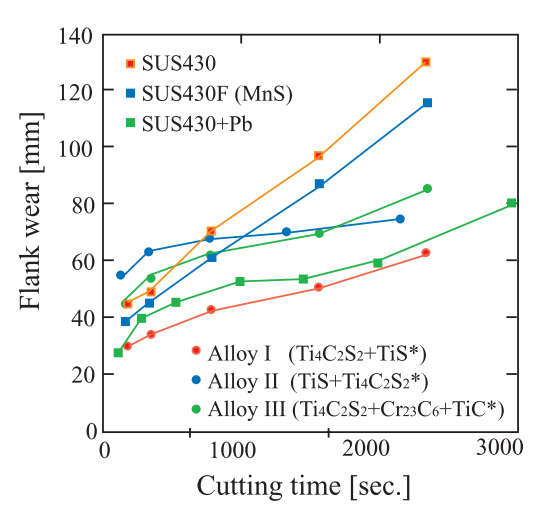


Fig. 3 Comparison of the flank-wear curves of P20 tools

散させたインバー合金¹⁵⁾、Ti合金、Ni合金の快削化にも成功している。

3 CDCプロセス(炭化物分散浸炭法) による高硬度耐摩耗鋼の開発

切削工具鋼として広く利用されている高速度鋼は、W, Mo, V, Crなどの合金元素により形成される炭化物の2次析出硬化を利用した耐熱・耐摩耗性に優れた鋼である。通常、溶解法により製造されるために、凝固時の偏析や粗大な1次炭化物の晶出、さらに共晶反応による不均一な炭化物相の形成が強度と靭性を損なう原因となる。機械的性質を向上させるためには、

- (1) 析出物を微細かつ均一に分散させる
- (2) 母相の結晶粒を微細にする
- (3) 炭化物の析出量を増やす

ことが肝要である。そこで著者らは計算状態図から予測できる相平衡、相分率および平衡組成に関する情報を活用して組織制御を行い、炭化物を均一に分散させる手法である炭化物分散浸炭法(Carbide Dispersion Carburising Process,以下CD浸炭法)により、1000を上回るビッカース硬度を有する高速度鋼の開発を行った。

3.1 CD浸炭法の原理

Fig. 5に安定なMC炭化物が形成されるFe-M-C系状態図と種々の組成の合金を浸炭したときに形成される組織を模式的に示した。通常の肌焼鋼に代表される浸炭材は、(a)図に示されるように γ 相の表面を高炭素濃度に浸炭し焼入れにより硬度を得るが、(b), (d)図に示したようにあらかじめMo, Vなどの炭化物形成元素Mを多量に添加した合金に浸炭処理を施すと、 γ 相中に高硬度の炭化物が微細に分散した組織を得ることができる。Fig. 6は Fe-10 Mo-5 V-2C (mass%)の合金を (a) 溶解法と (b) CD 浸炭法で作製した

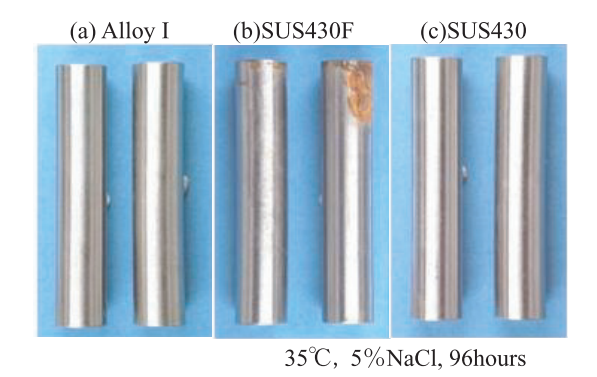
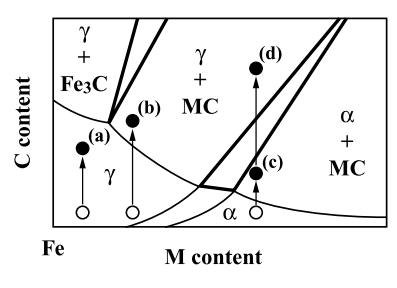


Fig. 4 Appearance of test pieces after salt spray test

組織である。溶解法の凝固時に形成される晶出炭化物と異なり、CD浸炭材中に見られる炭化物は微細かつ均一に分散し、その結果マトリックスの結晶粒径も5 μm以下の微細な多結晶組織が得られるため、機械的性質の大幅な改善が期待でき



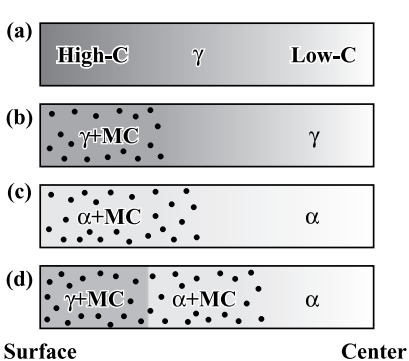
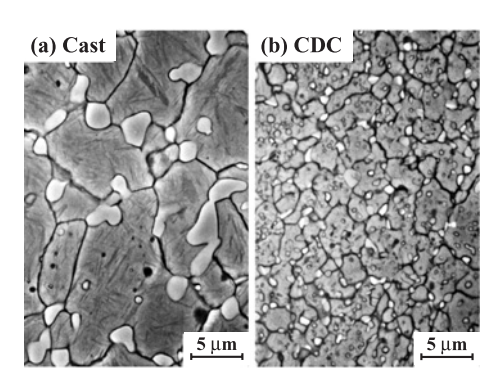


Fig. 5 Outline of CDC process



(c) Calculated Phase Diagram

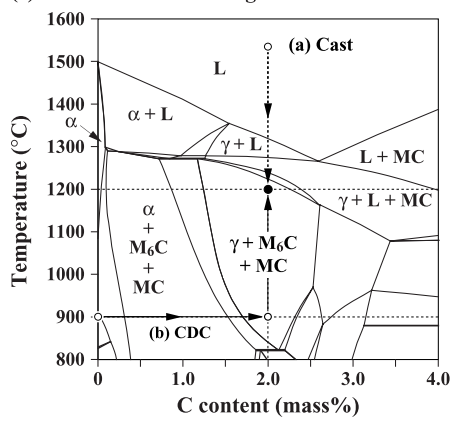


Fig. 6 Comparison between (a) Casting and (b) CDC process (Fe-10Mo-5V-2C (mass%))

る。さらに、浸炭前の材料は炭素含有量が少ないため溶解ー加工が容易であり、最終製品形状の直前に浸炭処理を行えば、 従来の溶解法において必要とされる造塊ー熱間加工などの製造管理が大幅に省略できる事や、複雑な形状を有する部品で も簡単に製造できるなどの利点を有している。

3.2 計算状態図による合金設計と熱処理

高速度鋼の性質は、高硬度の1次炭化物の量と焼入れ焼戻 し熱処理による2次硬化によって大きく左右される。従来、 高速度鋼の合金組成の設計には、炭化物形成元素と炭素量の バランスを表す経験式が用いられてきた。例えば、MC, M₆C 炭化物を適量形成させた上で、焼入れした高速度鋼の マトリックスの組成が一定になるように炭素量を定める。さ らに、その合金組成の溶融開始点をStevenの式¹⁶⁾によって 推定し、焼入れ温度を決定する方法などが採られてきた。著 者らは、このような合金・熱処理設計を熱力学平衡計算2)を 利用して行った。Fig. 7はFe-10 Mo-5 V (mass %) 合金に 浸炭を施して炭素濃度の異なる試料を作製し、1200℃で20 分間保持した後、焼入れた試料の構成相と相分率の計算結果 および、焼入れ、焼戻し材のビッカース硬度を表している。 計算結果から炭素濃度が低すぎる場合にはα相が混在するこ とが予測される。その結果、焼入れ、焼戻し材共に十分な硬 さを得ることができない。逆に、炭素量が過剰になると熱処 理温度が溶融点を超過し、粒界が完全に溶けてしまうため靭 性の低下を招く。高速度鋼の焼入れは、通常溶融点付近の高 温から行われるので、計算状態図に基づいた合金組成の選定 と温度管理により、新しい種類の高速度鋼の設計が容易に行 える。

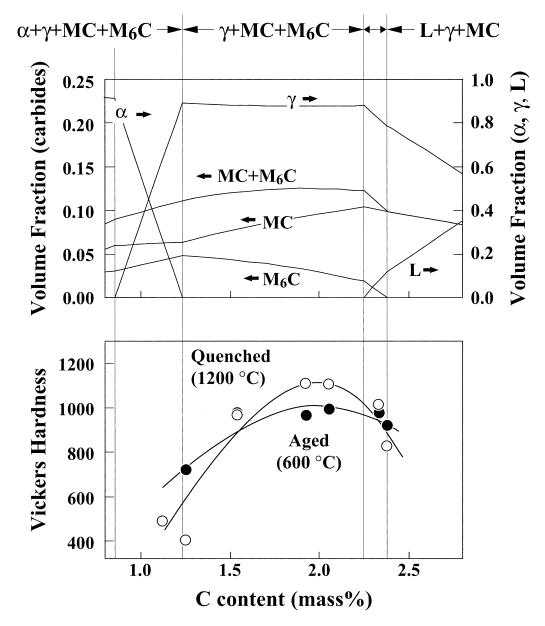


Fig. 7 Phase fraction and Vickers hardness of CDC alloys

また、計算状態図を利用すれば、溶融点のみならず、焼入 れ時の未固溶炭化物の種類と量、および、マトリックスγ相 中の固溶炭素量が予測できる。高硬度のMC型炭化物量は耐 摩耗性の改善に大きく寄与する。また、著者らの実験によれ ばM6C炭化物を共存させると炭化物が微細に分散するため、 靭性の改善が期待できる。計算状態図を利用すれば、Fig. 7 に示した通り、焼入れ熱処理時のMCおよびM₆C未固溶炭 化物の体積分率が推定できる。さらに、Fig. 8に示したよう に、マトリックスγ相の固溶炭化物量も同時に計算できるの で、焼戻し時にマルテンサイト基地から析出する特殊炭化物 による2次硬化の制御も可能である。Fig. 8は浸炭後の試料 の炭素濃度が1.2 mass % および2.0 mass % となる場合を想 定して、焼入れ温度を1200℃に設定した場合の計算状態図 である。 $\gamma + MC$ および $\gamma + MC + M_6C$ の領域にマトリッ クスγ相中に固溶する炭素の等濃度線を示した。Fe-Mo-V 系の浸炭材においては、焼入れ時の固溶炭素量が 0.8 mass %近傍で最高硬さを記録し、また、MCとM6C炭 化物を適度に共存させた試料で微細かつ均一な炭化物分散組 織が得られることから、計算状態図中に示した領域がそれぞ れの条件を満足する最適な合金組成であることが予測でき る。

3.3 CD浸炭材と溶解材の比較

計算状態図を利用した合金設計を行い、CD浸炭材2種(CDC鋼A, CDC鋼B)を開発した。比較材として代表的なMo系高速度工具鋼であるJIS SKH51 (AISI M2)を選定し、耐摩耗性、靭性および焼戻し硬さを比較した結果をFig. 9示す。2種のCD浸炭材ともに従来の浸炭材よりも優れた耐摩耗性を示し、さらに、比較材SKH51を凌ぐ靭性を得ている。粉末ハイスと比較しても、いずれも優れた特性を有することが明らかになった。焼戻し硬さは、従来の高速度鋼と同様に550~600℃の焼戻しで最大の2次硬化が得られ、CDC鋼A種については、ビッカース硬度が鉄鋼材料としては最高レベ

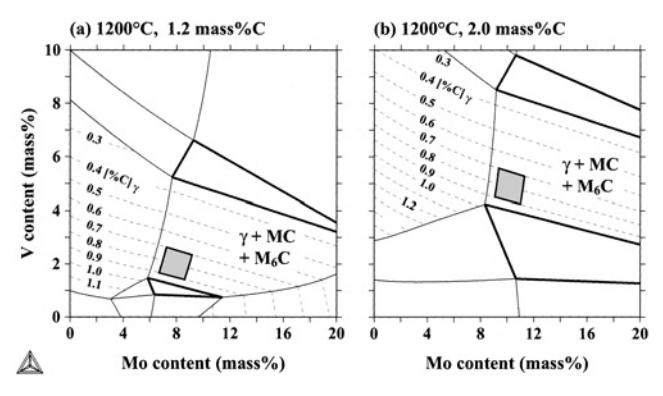
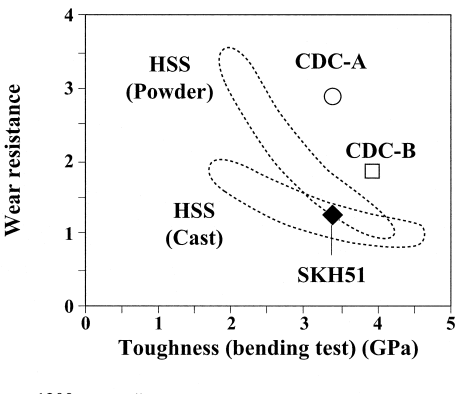


Fig. 8 Calculated phase diagrams and optimized compositions for CDC process



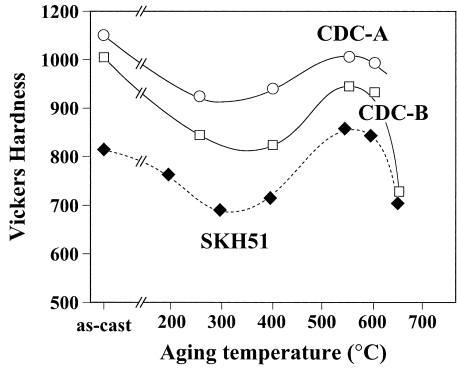


Fig. 9 Comparison of wear resistance and Vickers hardness between CDC and conventional alloys

ルの1000に達した。この技術を利用して、稲刈り用のコンバインカッターをはじめ、実用化が始まっている¹⁷⁾。

4 おわりに

計算状態図を利用した鉄鋼材料の開発例について紹介した。材料開発だけでなく、鉄鋼製錬や介在物予測さらに熱処理、組織制御などCALPHAD法は広く利用されている。しかしその基本であるデータベースには実験データが少ないために信頼性に乏しい系もある事を十分承知して利用することが必要である。データベースを構築する側にとってこのような系では実験、解析を行い、少しでも精度の良いシステム構築を目指しているが、時間がかかる事もご理解いただきたい。また最近では計算状態図とPhase field法を結びつけた組織形成予測手法も大きな成果を挙げている¹⁸⁾。今後のますますの発展に期待したい。

参考文献

- L. Kaufman and H. Bernstein: Computer Calculation of Phase Diagrams, New York, Academic Press, (1970)
- 2) B. Sundman, B. Jansson and T. O. Anderson: CAL-PHAD, 9 (1985), 153.
- 3) 石田清仁,大沼郁雄:第180·181回西山記念技術講座, (2004).1.
- 4) X. J. Liu, K. Oikawa, I. Ohnuma, R. Kainuma and K. Ishida: J. Metals, December (2004), 53.
- K. Oikawa, H. Mitsui, T. Ebata, T. Takiguchi, T. Shimizu, K. Ishikawa, T. Noda, M. Okabe and K. Ishida: ISIJ Int., 42 (2002), 806.
- 6) 渡里宏二,垣見治則,松本斉:まてりあ,41(2002), 57.
- 7) K. Oikawa, H. Mitsui, H. Ohtani and K. Ishida: ISIJ Int., 40 (2000), 182.
- 8) H. Ohtani, K. Oikawa and K. Ishida: High Temp. Mater. Processing, 19 (2000), 197.
- 9) K. Oikawa, H. Mitsui, T. Ebata, T. Shimizu and K. Ishida: Proc. 4th Stainless Steel Sci. Market Cong., 2 (2002), 40.
- 10) 光井啓:東北大学博士学位論文, (2004)
- 11) 滝口常美, 江幡貴司, 石川浩一, 清水哲也: 材料とプロセス, 17 (2004), 412.
- 12) 清水哲也,石川浩一,野田俊治,及川勝成,石田清 仁:電気製鋼,73 (2002),121.
- 13) T. Ebata, T. Shimizu, K. Oikawa, H. Mitsui and K. Ishida: Proc. 4th Stainless Steel Sci. Market Cong., 2 (2002), 81.
- 14) T. Ebata, T. Takiguchi, T. Shimizu, K. Oikawa, H. Mitsui and K. Ishida: Adv. Eng. Mater. in press.
- 15) R&Dまてりあ:まてりあ, 42 (2003), 3.
- 16) G. Steven et al. , \div Trans. Am. Soc. Met. , 57 (1964) , 925.
- 17) 大沼郁雄, 貝沼亮介, 石田清仁, 林田敬一, 大友久雅: まてりあ, 38 (1999), 254.
- 18) 小山敏幸:ふぇらむ,9(2004),本号.

(2004年9月13日受付)